Расчет координат точек сейсмических взрывов

| | | | | | | | , | |
|---|--|---|---|--|---|---|--|--|
| ™ TOVEK 1-2 | τ1-3 | Координаты точ. из геодезическ. полевых измерен. | | получен | наты точ., ных экспе- нтально | Δ X | ΔУ | |
| | 1 | | X | У | X | У | 100 | |
| $\begin{array}{c ccccccccccccccccccccccccccccccccccc$ | +0.019 -0.019 -0.156 -0.045 +0.207 +0.257 -0.025 -0.033 -0.062 | +0,014 +0.013 -0,007 -0,131 +0,067 +0,101 -0,134 -0,001. -0,015 -0,038 +0,013 | 500,0 500,0 517,8 543,5 682,0 444,7 400,5 526,2 516,3 536,2 515,1 | 500,0 500,0 505,8 373,5 410,4 379,5 533,5 503,3 514,8 499,2 | 507,6 503,3 502.7 536,3 695,9 443,1 405,7 494,0 506,4 528,1 502,4 | 493,3 505,3 501,1 351,3 381,9 358,0 547,9 499,7 503,4 530,4 497.8 | + 2,6 + 3,3 - 14.9 - 6,9 - 13,9 - 1,5 + 5,2 - 38,1 - 10,7 - 8,0 - 12,6 | - 6,6 + 5,3 - 4,6 -22,1 -28,4 -21,4 +14,4 - 3,5 -12,6 - 1,3 |

 $|\Delta X_{\text{cp.}}| = 19.5 \text{ M}, |\Delta Y_{\text{cp.}}| = 11.4 \text{ M}, m_x = \pm 15.2 \text{ M}. m_y = \pm 14.2 \text{ M}.$

Среднеквадратическая ошибка определения координат автоматизированным способом $M_{x,y} = \pm 20,1$ м.

Результаты расчета координат точек при введении заранее известных погрешностей

| - 11 | | | | | | | |
|--|--|---|--|--|--|--|--|
| Вариан- | Вводимые погрешности $\sigma = \pm 0.01$ сек τ_{1-2} τ_{1-3} τ_{1-4} | ΔX _{cp} | Δy _{cp} | m _{xcp} | ^{пі} у _{ср} | M _{X,y} | |
| 1. 2. 3. 4. 5. 6. 7. | Полевые измерения +0.01 -0.01 +0.01 -0.01 -0.01 -0.01 +0.01 -0.01 -0.01 +0.01 +0.01 +0.01 +0.01 +0.01 -0.01 -0.01 +0.01 -0.01 Средние значення | $ \begin{array}{r rrrr} -10 & 0 \\ -7.9 \\ +1.2 \\ -4.2 \\ -7.9 \\ -5.5 \\ -1.0 \\ -5.0 \end{array} $ | -8,0 +1,3 -5,6 -5,6 -3,6 -4,5 -6,4 -4,6 | ±17,2 ±12,7 ±12,5 ±12,9 ±18,1 ±11,6 ±10,5 ±13,6 | +14,1 +20,8 +28,5 +17,8 +27,9 +21,7 +17,0 +21,1 | ±22.3 ±24,3 ±30,8 ±22,0 ±33,3 ±24,6 ±20,0 ±27,6 | |

видимому, служит неоднородность среды, в которой распространяются сейсмические волны, и связанное с этим непостоянство по направлениям скорости распространения сейсмической волны. Фазовыми задержками в каналах связи при коротких длинах проводных линий можно пренебречь.

Аналитический вывод погрешностей может быть представлен формулами среднеквадратических ошибок определения координат X и У путем дифференцирования по частным производным выражений (19). Однако вычисление этих ошибок с достаточной стенснью точности представляется сложным делом, тем более, когда

анализируемые переменные зависимы друг от друга (например, время и скорость).

В первом приближении мы воспользовались методом введения заранее известных погрешностей в разности фаз τ_{l-i} и заново рассчитали координаты точек по приведенным выше формулам, причем скорость V нами не изменялась намеренно.

Результаты расчета показаны в табл. 3. Из нее видно, что погрешности в τ_{1-i} приводят к максимальным ошибкам в определении координат в экстремальных случаях, когда погрешностями с одинаковым весом отягощены все разности фаз, а изменения расчетной скорости показывают, что коррекция в предлагаемой работой [5] методике и схеме наблюдения моментов первых вступлений сейсмической волны обязательна.

Окончательные выводы о точности получения координат этим способом минимизации фазовых погрешностей и результатах коррекции можно сделать после полевых исследований полного комплекса автоматической системы определения координат и накопления статистического материала несколько большего объема.

Список литературы: 1. Берзон И. С., Епинатьева А. М., Парийская Г. П., Стародубровская С. П. — Динамические характеристики сейсмических волн в реальных средах. — М.: Изд-во Акад. наук СССР, 1962. 2. Видуев Н. Г., Григоренко А. Г. Математическая обработка геодезических измерений. — Киев. Виша школа, 1978. 3. Ленк А. Электромеханические системы. — М.: Мир, 1978. 4. Петкевич Г. И. Факторы, определяющие скорости сейсмических волн. — М.: Недра, 1962. 5. Спицын Ю. И. Способ определения координат точек и параметров их взаимного положения с помощью поверхностного сейсмического эффекта. — Геодезия, картография и аэрофотосъемка, 1982, вып. 35. 6. Чеботарев А. С. Способ наименьших квадратов. — М.: Геодезиздат, 1958.

Статья поступила в редколлегию 13.01.82

УДК 528.061.2

А. Е. ФЕДОРИЩЕВ, Н. И. КРАВЦОВ, В. А. ПЕРВАГО

ОПРЕДЕЛЕНИЕ ВЛАЖНОСТИ ВОЗДУХА В 500-МЕТРОВОМ СЛОЕ АТМОСФЕРЫ ПО РЕЗУЛЬТАТАМ ЕЕ ИЗМЕРЕНИЙ У ЗЕМНОЙ ПОВЕРХНОСТИ

В настоящее время физические явления и эффекты, свойственные распространяющимся потокам электромагнитных колебаний, получили глубокое научное объяснение. Изучена их природа в различных физических средах. Вместе с тем влияние слоистых неоднородностей реальной атмосферы на электромагнитные волны радиодиапазона при их распространении вблизи земной поверхности изучено еще не в полной мере. На характер распространения радиоволн наиболее существенное влияние оказывает влажность воздуха. Содержание водяного пара в атмосфере определяется с помощью различных гигрометрических характеристик.

Исследуем упругость (парциальное пара E. давление) Водянога

С целью выявления особенностей вертикального распределении Е с высотой в 500-метровом слое атмосферы, были обработаны данные аэростатных зондирований, выполненных аэрологическими организациями страны в пограничном слое атмосферы [1, 2].

Результаты аэрологических определений были разделены па пять групп, каждая из которых содержала в среднем до 40 зпа-

| | Значения | парциального | давления на | различных | Ta | блица (|
|--------------------------------------|----------------------------|---|--|--|--|---|
| Интерналы Е _а , мбар | К-во профил. | | | сота, м | KISCOPAN | |
| | профия. | 2 | 50 100 | 200 | 300 | 500 |
| | | 1 | Инверсия | Manna di | | 71111 |
| 0-4 4-8 8-12 12-16 16-20 | 24 22 27 36 29 | 2,43 6,58 9,90 13,82 13 | 3,57 56 50 50 50 9,82 47 13,04 15,53 | 3,34 6,27 9,26 12,23 14,53 | 3,42 5,33 9,08 11,79 13,01 | 3,16 5,22 8,49 11,22 13,25 |
| 0-4 4-8 8-12 12-16 16-20 | 26 28 45 50 | 11. Hopman 3,02 2,6 6,12 5,8 10,46 9,7 14,01 13,6 17,71 16,6 | 820 2,83 81 5,73 79 9,55 07 12,76 | 2,75 5,38 8,93 12,15 14,68 | 2,68 5,01 8,67 11,61 13,86 | 2,2 9 4 50 8 02 11,23 12,54 |

чений парциальных давлений, измеренных на высотах 2, 50, 100, 200, 300, 500 м. Группирование значений Е выполнялось в интервале $0\dots 20$ мбр с шагом 4 мбр по измеренным величинам E_0 на высоте 2 м для инверсионной и нормальной стратификации ат-

 $\hat{\mathbf{y}}$ читывая быстрое убывание E с высотой, зависимость его вертикального распределения представим экспонентой вида

$$E = E_0 \exp ah. \tag{1}$$

Здесь E_0 — парциальное давление в мбр на высоте 2 м; a параметр, определяемый экспериментально; h — высота, м. Логарифмируя (1), получим:

$$\lg E = \lg E_0 + ah \lg e. \tag{2}$$

Для решения поставленной задачи нами приняты в обработку свыше 330 вертикальных профилей, включающих в себя более

Изменение Е с высотой в исследуемом слое показанр в табл. 1.

Графическая интерпретация распределения E с высотой показана на рис. 1, где сплошными линиями представлено распределение E при нормальной стратификации атмосферы, пунктиром —

Кривые рис, 1 и данные табл. 1 свидетельствуют о том, что разница в значениях E на одних и тех же высотах не выходит за пределы $\pm 0.5...0.8$ мбр, что находится в пределах точности измерений. Отсюда можно сделать вывод, что для принятого диапазона изменения E_0 распределение парциального давления мало зависит от стратификации атмосферы, больше — от высоты и абсолютного значения E_0 .

Учитывая это, параметры а аппроксимирующих кривых для всех интервалов изменения E_0 будем вычислять статистически по

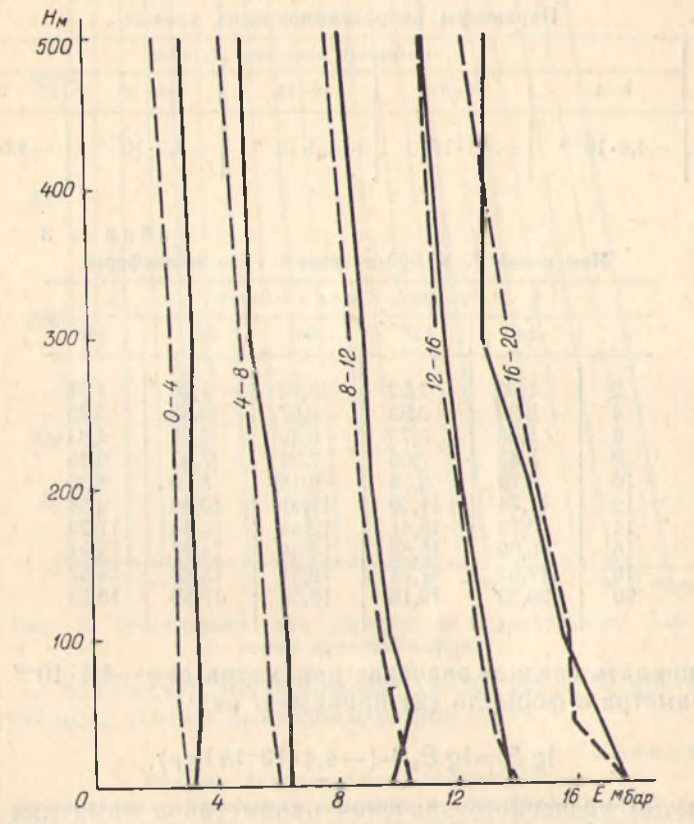


Рис. 1. Парциальное давление водяных паров на различных высотах.

усредненным данным для инверсионного и нормального распределений совместно.

Значения параметров а аппроксимирующих кривых для принятых интервалов изменений $E_{\rm 0}$ получены из решения системы нормальных уравнений вида:

$$\sum_{i=1}^{6} \lg E_i = \sum_{i=1}^{6} \lg E_0 + 0.43 \left(\sum_{i=1}^{6} h_i \right) a;$$

$$0.43 \sum_{i=1}^{6} h_i \lg E_i = 0.43 \left(\sum_{i=1}^{6} h_i \right) \lg E_0 + \left[(0.43)^2 \sum_{i=1}^{6} h_i^2 \right] a, \quad (3)$$

где i — номер группировки E по высоте.

Величины параметров а приведены в табл. 2.

Анализ таблицы свидетельствует, что распределение Е с высотой не зависит от изменений \check{E}_0 и для практических расчетон

Таблица 2

Параметры аппроксимирующих кривых

| | | т-жегры апп | | | |
|------------|----------|-------------|-------------------------------|------------------------------|-----------|
| Параметр — | | Интер | валы изменения | <i>E</i> ₀ , мбар | UNE - |
| | 0-4 | 4-8 | 8-12 | 12-16 | 16-20 |
| a _ | 4,4.10-4 | -4,1.10-4 | -4,3 ⋅10 ⁻⁴ | -4,2.10-4 | -4,6.10-4 |

Таблица 3 Изменение E в 500-метровом слое атмосферы

| 2 | | изменение д | Е мбар с выс | отой | |
|--|---|---|---|---|--|
| 2 | 50 | 100 | 200 | 300 | 500 |
| 2 4 6 8 10 12 14 16 18 20 | 1,96 3,92 5,86 7,83 9,79 11,74 13,70 15,69 17,62 20,50 | 1,92 3,83 5,73 7,66 9,58 11,50 13,41 15,32 17,24 19,16 | 1,83 3,67 5,49 7,34 9,18 11,01 12,84 14,68 16,51 18,35 | 1,76 3,52 5,26 7,03 8,79 10,55 12,30 14,07 15,82 17,58 | 1,61 3,23 4,83 6,45 8,06 9,68 11,29 12,91 14,52 16,13 |

можно принять среднее значение параметра $a=-4,4\cdot 10^{-4}$. С учетом параметра и формула (2) принимает вид:

$$\lg E = \lg E_0 + (-4.4 \cdot 10^{-4} h \lg e). \tag{4}$$

С учетом численного значения параметра а нами для иринятых высот по формуле (2) рассчитаны с шагом 2 мбр величины E во всем диапазоне изменения E_{\circ}

Значения Е приведены в табл. 3. По данным этой таблицы построена номограмма, позволяющая графически получать значения влажности на различных высотах в 500-метровом слое атмосферы но ее значениям, определенным у поверхности Земли

Для оценки точности определения парциального давления по предложенной номограмме (рис. 2) нами были использованы независимые аэрологические определения. Погрешности m_{E_I} вычислялись по отклонениям ΔE_i между парциальными давлениями E_i ,

измеренными на соответствующих высотах в процессе зондирований, и давлениями, определенными из номограммы E_h ,

$$\Delta E_i = E_i - E_{h_i} \tag{5}$$

и по формуле
$$m_{E_i} = \sqrt{\frac{\left[\Delta E_i^2\right]}{n-1}}\,, \tag{6}$$

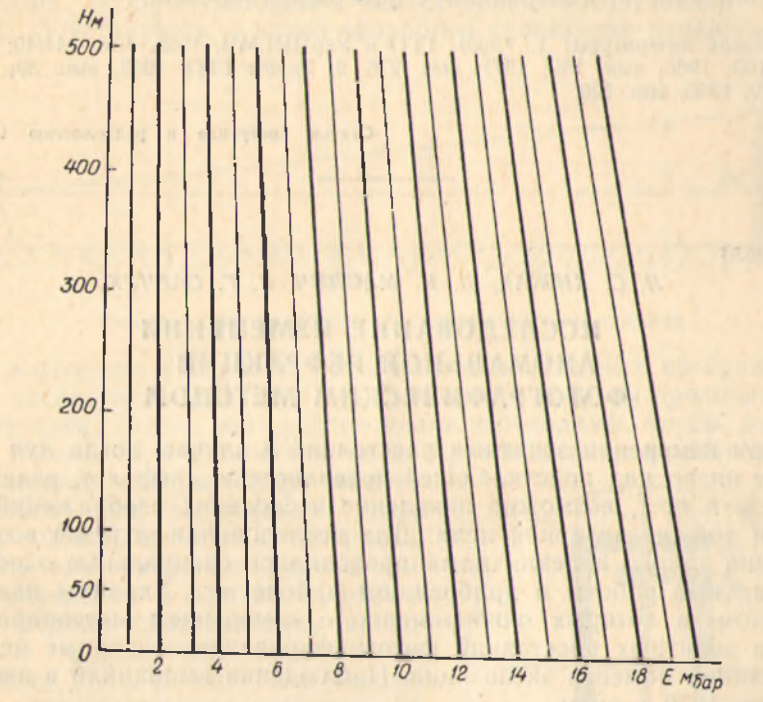


Рис. 2. Номограмма для определения парциального давления водяных паров.

здесь n — количество зондирований, i=50, 100, 200, 400 и 500 м. Полученные данные приведены в табл. 4.

Таблица 4

Средние квадратические погрешности определения парциального давления в слое воздуха 0-500 м

| Иитервалы ларциаль- | Средние квалратические погрешности, мбар | | | | | | |
|---|--|--------------------|---------------------|--------------------|--------------------|--------------------|--|
| ного дав- ления у поверх- ности, мбар | ^m E 50 | m _{E 100} | m _{E 200} | m _{E 300} | m _{E 400} | m _E 500 | |
| | B ALL | # 100 | WE TO T | - 1 | | | |
| 0-4 | 0,2 | 0,2 | 0,3 | 0,2 | 0,2 | 0,4 | |
| 4— 8 | 0,9 | 1,2 | 1,5 | 1,4 | 1,2 | 1,0 | |
| 8-12 | 0,9 | 0,9 | 0,9 | 0,8 | 0,7 | 1,2 | |
| 12-16 | 0,2 | 0,7 | 0,7 | 0,2 | 0,3 | 0,4 | |
| 16-20 | 0,9 | 1,1 | 1,2 | 1,3 | 1,3 | 1,5 | |
| They are | | * HOUSE | THE PERSON NAMED IN | THE OTHER | | Total State | |

Количество зондирований *п* колебалось от 40 до 50 в каждом

из принятых интервалов E_0 .

Таким образом, предложенная эмпирическая формула (4) и номограмма позволяют с указанной выше точностью учитывать парциальное давление в исследуемом слое для вычисления поправок за рефракцию при радиодальномерных измерениях по величине влажности, измеренной у поверхности Земли.

Список литературы: 1. Труды ГГО и УкрНИГМИ, 1963, вып. 144/40; 1961 вып. 150; 1966, вып. 189; 1971, вып. 276. 2. Труды ГГО, 1953, вып. 39; 1955,

Статья поступила в редколлегию 15.04.82

УДК 528.03

Л. С. ХИЖАК, Д. И. МАСЛИЧ, С. Г. САВЧУК

исследование изменении АНОМАЛЬНОЙ РЕФРАКЦИИ ФОТОГРАФИЧЕСКИМ МЕТОДОМ

При измерении зенитных расстояний в случае, когда луч проходит низко над подстилающей поверхностью (асфальт, взлетные полосы и пр.), возможно появление нескольких изображений одной и той же визирной цели. Для исследования условий возникновения такого явления нами проводились специальные экспериментальные работы в прибрежном районе юга Украины над асфальтом, в которых одновременно с измерением метеопараметров и зенитных расстояний фотографировались визирные цели с фиксацией момента экспозиции. Наблюдения выполняли в июне-

Рядом с теодолитом ОТ-02 на одной и той же высоте был установлен фотоаппарат «Зенит» с телсобъективом. Фокусное расстояние телеобъектива равно 1000 мм. Фотоаппарат устанавливался на штативе, который стоял на специально вбитых в землю полуметровых железных костылях. Костыли располагались с таким расчетом, чтобы высота центра объектива фотоаппарата и теодолита были одинаковыми и расстояния от визирной марки до плоскостей изображения ее в теодолите и фотсаппарате были равны. При этом фотоаппарат нахолился на расстоянии примерно 0,5 м от теодолита. Такое расположение теодолита и фотоапларата позволяет получить разность зенитных расстояний между изображениями целей, сравнимую с соответствующими разностями, полученными из измерений теодолитом.

Визирная марка находилась на расстоянии 786 м от теодолита и фотоаппарата. Расположение наблюдательной станции показано на рис. 1, где привелены форма и размеры визирной марки. Участок асфальта, нал которым проводились исследования, был ровным (превышение между станцией и маркой составляло

около 4 см). Были выполнены необходимые геодезические измерения для определения теоретических углов рефракции.

При выбранных условиях исследований многократные изображения появлялись очень часто, даже в пасмурную погоду. Вид визирной марки при многократных изображениях показан на рис. 2.

Наши экспериментальные исследования преследовали такие цели: 1) установить, с какой скоростью происходит изменение уг-

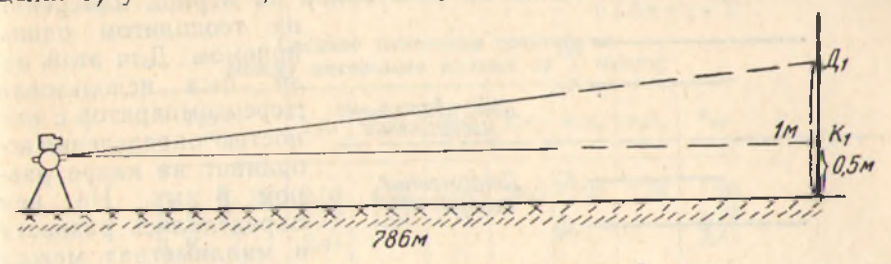


Рис. 1. Схема расположения наблюдательной станции.

лов рефракции в периоды появления многократных изображений и 2) исследовать структуру слоя воздуха, в котором проходят световые лучи. Такого рода исследования необходимы, чтобы, во-первых, можно было установить, когда производить измерения метео-

параметров, которые будут использоваться при вычислении углов рефракции и, во-вторых, где производить эти измерения. Дело в том, что определение зенитных расстояний геодезическим методом проходит в определенный промежуток времени (5...15 мин) и в результате мы получаем некоторое среднее значение зенитных расстояний. За этот промежуток времени величина рефракции может измениться, особенно в периоды многократных изображений. И естественно, что скорость изменения рефракции в эти периоды необходимо учитывать при разработке методики определения

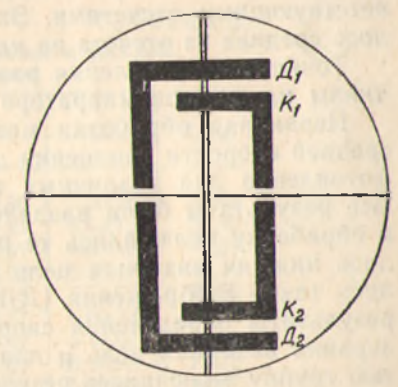


Рис. 2. Вид визирной марки при многократных изображениях.

как метеоэлементов, так и зенитных расстояний. Кроме того, при организации метеорологических измерений, необходимо хотя бы приближенно знать структуру слоя воздуха в периоды многократных изображений визирных целей. Только в этом случае можно правильно расположить приборы для измерения метеоэлементов.

Чтобы получить изменения аномальной рефракции за период измерения зенитных расстояний теодолитом одним приемом в момент наведення средней нити теодолита на верхнее изображение длинной полосы \mathcal{I}_1 (см. рис. 3), в начале и конце приема проводилось фотографирование визирных целей с экспозицией 1/30